К. Н. БАКИНОВСКИЙ, Н. Н. ВАСИЛЬЕВ, Г. И. РАЙ, Г. В. ШАРОНОВ, А. П. ШКАДАРЕВИЧ

УСТОЙЧИВЫЙ РЕЖИМ МОДУЛЯЦИИ ДОБРОТНОСТИ И СИНХРОНИЗАЦИИ МОД АИГ: Nd³+-ЛАЗЕРА НЕПРЕРЫВНОГО ДЕЙСТВИЯ С НЕЛИНЕЙНО ПОГЛОЩАЮЩИМ КРИСТАЛЛОМ LIF C F₂-ЦЕНТРАМИ ОКРАСКИ

Целесообразность применения нелинейно поглощающих кристаллов (НПК) LiF с F_2 -центрами окраски (ЦО) для модуляции добротности (МД) как импульсных, так и непрерывных лазеров на иттрий-алюминиевом гранате показана в работах [1, 2]. В [3] впервые получен режим пассивной синхронизации мод (СМ) в непрерывном лазере с использованием кристаллов LiF: F_2 при больших длинах резонатора (\sim 30 м) вследствие длительного времени релаксации верхнего возбужденного уровня F_2 -центров в таком фильтре \sim 100 нс. Тем не менее некоторые вопросы, связанные с влиянием уровня возбуждения активной среды, начального поглощения НПК, концентрации F_2 -центров на временные и энергетические характеристики выходного излучения, изучены недостаточно. Не решена задача повышения стабильности выходных параметров лазера с пассивным затвором для его практического использования.

Нами проведены исследования выходных характеристик излучения непрерывного лазера на $AU\Gamma$: Nd^{3+} с активной синхронизацией мод и пассивной модуляцией добротности резонатора $H\Pi K$ $LiF: F_2^-$ с целью получения стабильного режима генерирования мощных сверхкоротких оптических импульсов.

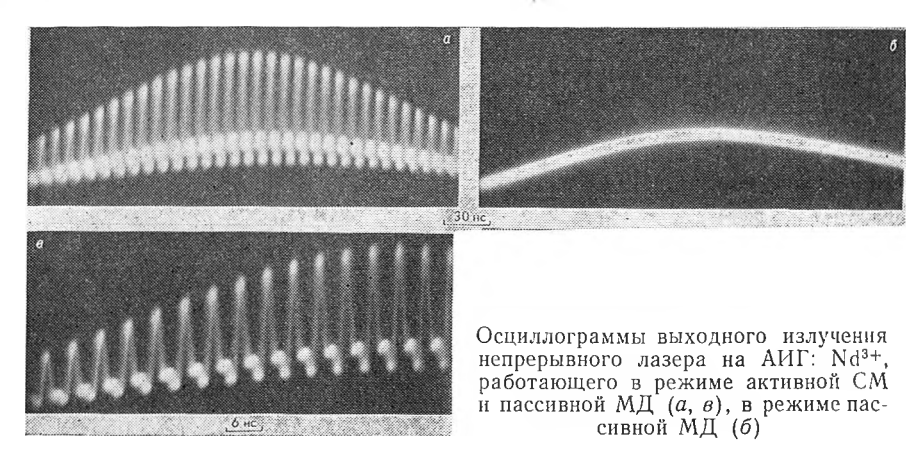
Экспериментальная установка собрана на базе промышленного квазинепрерывного лазера ЛТИ-502. Выходное зеркало лазера плоское, коэффициент пропускания 16 %; глухое зеркало с выпуклой отражающей поверхностью (радиус кривизны 400 мм и коэффициент пропускания $\leq 0.2 \%$). Активная синхронизация мод в исследуемом лазере осуществлялась при помощи акустооптического синхронизатора мод (АОСМ) МЛ-202 с дифракционной эффективностью 32 % на рабочей частоте ~76 МГц и подводимой мощности ~2 Вт. Управляющий синусоидальный сигнал на частоте межмодовых биений подавался на АОСМ с генератора стандартных сигналов (Г4-44) через усилитель мощности (УЗ-11). Селекция поперечных мод обеспечивалась внутрирезонаторной диафрагмой диаметром 1,5 мм. Для сравнительной оценки характеристик выходного излучения режимов, помимо пассивных затворов для модуляции добротности, использовался также акустооптический затвор МЗ-301. Средняя мощность выходного излучения контролировалась измерителем мощности типа ИМО. Временная структура выходного излучения изучалась с помощью лавинного фотодиода ЛФД-2 и широкополосного осциллографа С1-75. Ширина полосы детектирующей системы $\sim 250 \text{ M}$ Гц. В качестве НПК применялись кристаллы LiF: F_2^- , полученные при окрашивании кристаллов LiF ү-излучением источника Собо дозой 5 · 104 Кл/кг. Для управления параметрами выходного излучения использовались кристаллы $LiF: F_2$ с коэффициентами начального пропускания на длине волны $\lambda = 1,064$ мкм 75, 82 и 96 % и потерями на отражение $\sim 0.5 \%$.

Как видно из приведенных результатов (см. таблицу), использование НПК с начальным пропусканием 75—96 % приводит к генерации последовательности импульсов длительностью от 300 до 750 нс и периодом следования от 30 до 680 мкс в зависимости от плотности мощности излучения внутри резонатора. Наиболее устойчивый режим генерации наблюдался в случае НПК с начальным пропусканием 82 %. В этом слу-

Результаты экспериментов

Коэффициент начального пропускания, %	Ток на- качки, <i>А</i>	<i>Р</i> _{СР} , Вт режим МД	Период следования им- пульсов, мкс	Длитель- ность им- пульсов, нс	Р _{ср} , Вт, режим СМ (МЛ-202) и МД
75	32	0,2-0,4	400—200	300	0,35
НПК 82	30	0,2-0,8	680—200	400	0,75
96	28	1,6	30	750	1,5
M3-301	28	1,8	220	600	1,7

чае нестабильность амплитуды, длительности и периода следования импульсов при средней мощности выходного излучения ~ 0.6 Вт была ~5 %. С увеличением интенсивности излучения внутри резонатора наблюдалось уменьшение периода следования импульсов от 680 до 220 мкс. Длительность импульсов при этом оставалась постоянной (400 нс). Работа пассивного затвора в сочетании с акустооптическим модулятором добротности типа МЗ-301 с периодом следования 220 мкс приводила к сужению диапазона перестройки частоты следования импульсов, а стабильный режим генерации наблюдался только при определенных уровнях интенсивности излучения внутри резонатора лазера, что требовало дополнительной подстройки. В этом плане наибольший интерес представляет использование НПК LiF: F2 (82 %) с акустооптическим синхронизатором мод (АОСМ) типа МЛ-202, осуществляющим внутрирезонаторную модуляцию потерь на частоте межмодовых биений. В этом случае наблюдается устойчивый режим СМ с МД, приводящий к генерации последовательности цугов сверхкоротких оптических импульсов. Временная структура излучения показана на рисунке. Зарегистрированная длительность одиночного импульса (~ 1 нс по полуширине) определялась шириной полосы детектирующей системы. При использовании кристалла LiF: F₂ стабильный режим СМ наблюдался при значительно меньшей мощности, подводимой к АОСМ (~6 раз), по сравнению с применением акустооптического затвора МЗ-301, что, видимо, свидетельствует о наличии у кристалла синхронизирующих свойств. Причем этот эффект наблюдался только у кристаллов, прошедших специальную термообработку, приводящую к отжигу F_2^- -центров с временем релаксации ~ 100 нс и возникновению в кристалле сложных ЦО с временем релаксации 0,5 нс, что подтверждалось прямыми измерениями времен релаксации образующихся центров окраски. Величина параметра б, определяющего эффективность работы затвора [4] и рав-



ного отношению показателя поглощения НПК в просветленном состоянии к показателю начального поглощения на длине волны генерации 1,064 мкм, равна 0,5. Поэтому использование термообработанных кристаллов LiF: F₂ в резонаторе АИГ: Nd³⁺-лазера с непрерывной накачкой при равной мощности, подводимой к АОСМ, позволяет осуществить более полный режим синхронизации мод, чем с АОЗ (МЗ-301), что особенно важно при больших уровнях накачки активной среды.

Полученные результаты указывают на перспективность использования для управления временными и энергетическими характеристиками АИГ: Nd³+-лазеров с непрерывной накачкой пассивных лазерных затворов на основе термообработанных кристаллов LiF: F2 в сочетании с активными устройствами модуляции лазерного излучения.

Список литературы

1. Головин А. Д., Лахио П. Р., Петров А. В., Созинов Б. П., Чура-ков В. П. // Тез. докл. IV Всесоюз. конференц. Оптика лазеров. Л., 1983. С. 128. 2. Майоров А. П., Макуха В. К., Смирнов В. А., Тарасов В. М. // ЖТФ. 1981. Т. 53. С. 2391. 3. Кориненко Л. С., Кравцов Н. В., Сидоров В. А., Сусов А. М., Яцен-ко Ю. П. // Квантовая электроника. 1985. Т. 12. № 11. С. 2369. 4. Бураков В. С., Кононов В. А., Корочкин Л. С., Михнов С. А., Хулугуров В. М., Хюппенен В. Н., Чепурной В. А., Шкадаревич А. П. // ЖПС. 1982. Т. 36. Вып. 3. С. 494.

Поступила в редакцию 02.09.86.

УДК 620.179.153

АХМЕД БАКР, А. Д. ЛЕВКОВИЧ, А. Н. ПЕРЦЕВ

ВЛИЯНИЕ ИОНИЗАЦИОННЫХ ПОТЕРЬ НА БЕТА-СПЕКТР при прохождении через поглотитель

Энергетические спектры позитронов и электронов (испускаемых при бета-распаде ²²Na и ²⁰⁸Tl соответственно) демонстрируют свойство стабилизации, проходя слои поглотителя из бериллия, алюминия, никеля, слюды; положение наиболее вероятной энергии, средней энергии, относительной ширины слабо изменяется в широком диапазоне толщин поглотителя. Это свойство, видимо, носит общий характер и отражает особенности бета-спектров и взаимодействия бета-частиц с веществом. В данной работе рассматривается влияние ионизационных потерь на бета-спектр при прохождении через поглотитель.

Как известно [1], средние потери энергии на единицу пути описываются формулами:

для нерелятивистских энергий

$$-\frac{dE}{dx} = \frac{4\pi e^2 NZ}{mv^2} \ln \frac{1,16 \, mv^2}{2I} = 0,306 \, \rho \, \frac{Z}{A} \, \beta^{-2} \ln \frac{1,16 \, E}{I}, \, \text{MaB/cm}, \quad (1)$$

для релятивистской области

$$-\frac{dE}{dx} = 0,153 \rho \frac{Z}{A} \beta^{-2} \left[\ln \frac{E (E + mc^2) \beta^2}{2I^2 mc^2} + (1 - \beta^2) - (2\sqrt{1 - \beta^2} - 1 + \beta^2) \ln 2 + \frac{1}{8} (1 - \sqrt{1 - \beta^2})^2 - \Delta \right], \text{ MəB/cm}, (2)$$

где e — заряд электрона; N — число атомов в 1 см 3 ; ρ — плотность; A атомный вес; Z — порядковый номер; I — средняя энергия возбуждения атомов; $\beta = \frac{v}{c}$; v — скорость электрона; c — скорость света; Δ — влияние поляризации среды.